

## طراحی و بینه‌سازی زنجیره تأمین سبز از پسماندهای فاضلاب شهری در کشور با استفاده از یک روش فرآبتكاری ترکیبی

### شايان محسنی

دانشجوی دکتری مهندسی صنایع، دانشگاه علم و صنعت ایران

Shayan\_mohseni@ind.iust.ac.ir

### میوسامان پیشوایی

دانشیار دانشکده مهندسی صنایع، دانشگاه علم و صنعت ایران (نویسنده مسئول)

Pishvaaee@iust.ac.ir

یکی از مهم‌ترین مسائلی که آینده کشور را در تأمین انرژی تهدید می‌کند، واستنگی شدید به منابع نفتی و عدم توسعه قابل توجه انرژی‌های تجدید پذیر می‌باشد. در سال‌های اخیر در نقاط مختلف دنیا تولید سبز به عنوان جایگزینی برای سوخت‌های فسیلی گسترش فراوانی داشته است. اگرچه تولید سبز از مواد خوراکی قیمت تمام‌شده پائینی دارد و در برخی کشورها همچون برزیل به مقدار قابل توجهی تولید می‌شود اما به علت تأثیر نامطلوب استفاده از مواد غذایی بر بازار محصولات کشاورزی و افزایش قیمت محصولات کشاورزی، تولید آن محدود شده است. به عنوان جایگزینی برای حل این مشکل استفاده از موادی بدون منشأ غذایی همچون غلاف ذرت برای تولید سوخت توسعه یافته است. یکی از منابعی که برای تولید سوخت توجهات فراوانی را در سال‌های اخیر به خود جلب کرده است، استفاده از فاضلاب‌های شهری است. علت این موضوع این است که فاضلاب حاوی مقدار قابل توجهی لبید است که می‌تواند برای تولید بیوپلیزل به کار گرفته شود، همچنین نیاز به دفن لجن‌های فاضلاب‌های شهری که فرانزی پرهزینه در تصفیه‌خانه‌ها می‌باشد را از بین می‌برد. برای بررسی توسعه چنین سوخت‌هایی در کشور این مطالعه به طراحی زنجیره تأمین تولید سوخت از فاضلاب‌های شهری می‌پردازد که کلیه مراحل از تأمین و انتقال فاضلاب از تصفیه‌خانه‌ها، تبدیل آن‌ها به سوخت و توزیع سوخت را به صورت یکپارچه بینه‌نماید. با توجه به ابعاد گسترده و غیرخطی بودن مدل حاصل، الگوریتم‌های دقیق از حل آن ناتوان هستند. لذا یک مدل فرآبتكاری ترکیبی بر اساس الگوریتم‌های ژنتیک و بهینه‌سازی ازدحام ذرات توسعه داده شده است. نتایج به کار گیری الگوریتم توسعه داده شده نشان از برتری عملکرد آن نسبت به الگوریتم‌های ژنتیک و بهینه‌سازی ازدحام ذرات دارد. همچنین نتایج نشان می‌دهد که سوخت حاصل از فاضلاب‌های شهری در حال حاضر اقتصادی نمی‌باشد اما با افزایش نرخ سوخت‌های فسیلی در آینده و بهبود نرخ تبدیل فاضلاب به سوخت، این سوخت قابلیت رقبت با سوخت‌های فسیلی را دارد.

**واژگان کلیدی:** سوخت‌های سبز، زنجیره تأمین سبز، فاضلاب‌های شهری، الگوریتم‌های فرآبتكاری

## ۱. مقدمه

وابستگی شدید به منابع نفتی و محدود بودن این منابع از مهم‌ترین مسائلی است که تأمین انرژی موردنیاز کشور در آینده را تهدید می‌کند. از میان انواع انرژی‌های نو، تولید سوخت‌های سبز<sup>۱</sup> اهمیت فراوانی را در سال‌های اخیر در نقاط مختلف دنیا به خود جلب کرده‌اند. در سال‌های گذشته منابع مختلفی برای تولید سوخت‌های سبز به کار گرفته‌شده است که آن‌ها را در چند نسل طبقه‌بندی می‌کنند (مایتی و همکاران<sup>۲</sup>، ۲۰۱۴). نسل اول منابع شامل موادی با ماهیت غذایی است که از جمله آن‌ها می‌توان به ذرت، سویا، نشاسته و... اشاره نمود. اگرچه سوخت تولیدی از این مواد اقتصادی است اما رفته‌رفته استفاده از آن‌ها به دلیل افزایش قیمت مواد غذایی کاهش یافته است (بابازاده و همکاران<sup>۳</sup>، ۲۰۱۵). نسل دوم از موادی بدون ماهیت غذایی همانند پسماندهای محصولات کشاورزی مانند غلاف ذرت، محصولات مخصوص تولید انرژی همچون جاتروفا و پسماندهای صنعتی می‌شوند. تولید سوخت از ریز جلبک‌ها به دلیل ماهیت متفاوت تولید به عنوان نسل سوم نام‌گذاری شده است (محسنی، پیشوایی و صاحبی<sup>۴</sup>، ۲۰۱۶).

یکی از موضوعات اساسی پیش رو برای توسعه سوخت‌های سبز در مقیاس کلان هماهنگی و مدیریت یکپارچه مراحل مختلف تولید است. لذا لازم است مدل‌های طراحی زنجیر تأمین توسعه یابد که کلیه مراحل از تأمین مواد اولیه تا تولید و عرضه سخت را به صورت یکپارچه بهینه نماید (یوی، یو و استایدر<sup>۵</sup>، ۲۰۱۴). در یک نگاه کلی مدل‌های طراحی شبکه زنجیره تأمین<sup>۶</sup> به

1. Biofuels
2. Maity et al.
3. Babazadeh et al.
4. Mohseni et al.
5. Yue and You and Snyder
6. Supply chain network design

بهینه‌سازی تصمیماتی همچون انتخاب تأمین کننده؛ ظرفیت، مکان و نوع فتاوری پالایشگاه‌های تبدیل؛ و روش حمل و نقل مواد اولیه و سوخت نهایی می‌پردازند (محسنی و پیشوایی، ۱۳۹۶). به عنوان یکی از منابع تولید سوخت‌های سبز نسل دوم، فاضلاب‌های شهری توجهاتی ویژه‌ای را در سال‌های اخیر به خود جلب کرده است. دلایل این موضوع این است که (الف) مقادیر قابل توجهی فاضلاب شهری در نقاط مختلف دنیا تولید می‌شود و انتظار می‌رود این مقادیر در آینده به جهت رشد صنعتی سازی افزایش یابد، (ب) فاضلاب‌های شهری حاوی مقادیر قابل توجهی لیپید است که ماده اولیه برای تولید بیو دیزل محسوب می‌شود؛ (ج) دفع و دفن لجن‌های فاضلاب‌های شهری به عنوان دغدغه تصفیه خانه‌ها هزینه گزارفی را به همراه دارد (کارگو<sup>۱</sup>، ۲۰۱۰). با توجه به میزان بالای فاضلابی تولیدی در کشور، فاضلاب‌های شهری به عنوان منبع مناسبی برای تولید سوخت در کشور و کاهش هزینه‌های تصفیه خانه‌های کشور به کار گرفته شود (داودی نژاد و همکاران، ۱۳۹۴). مدل طراحی شبکه زنجیره تأمین می‌تواند در جهت برنامه‌ریزی در مقیاس کلان برای تولید سوخت از فاضلاب‌های شهری به کار گرفته شود. یکی از مهم‌ترین موضوعات و دغدغه‌ها در طراحی و بهینه‌سازی زنجیره تأمین رویکرد حل مسئله می‌باشد. این موضوع از آنجا ناشی می‌شود که مدل‌های طراحی شبکه اغلب در مسائل سخت<sup>۲</sup> دسته‌بندی می‌شوند. این موضوع باعث می‌شود تنها نمونه‌هایی با ابعاد کوچک مدل‌های زنجیره تأمین حوزه سوخت‌های سبز با استفاده از روش‌های دقیق<sup>۳</sup> قابل حل باشند (کاستیلو<sup>۴</sup>، ۲۰۱۴). این در حالی است که در مسائل دنیای واقعی ابعاد مدل‌های زنجیره تأمین اغلب آنچنان گسترده است که استفاده از رویکردهای دقیق کارا نخواهد بود (چیبلس و همکاران<sup>۵</sup>، ۲۰۱۶).

1. Kargbo

2. NP-hard

3. Exact methods

4. Castillo-Villar

5. Chibeles et al.

برای حل این مشکل رویکردهای حل فرآبتكاری<sup>۱</sup> که یک جواب نزدیک به جواب بهینه در بازه زمانی منطقی فراهم می‌نمایند به کار گرفته شده‌اند. در ادبیات حوزه زنجیره تأمین سوخت‌های سبز تحقیقات اندکی از رویکردهای فرآبتكاری برای حل مدل استفاده کرده‌اند. برای مثال لوپیز و همکاران<sup>۲</sup> در سال ۲۰۰۸ باهدف تولید انرژی الکتریکی از زیست‌توده، یک مدل زنجیره تأمین توسعه دادند که تصمیماتی همچون مکان و مساحت لازم برای کشت زیست‌توده و همچنین مکان احداث نیروگاه‌های تبدیل زیست‌توده به الکتریسیته را با در نظر گرفتن محدودیت‌های تکنیکی فرایند تولید بهینه می‌کند. برای حل مدل دو روش ژنتیک<sup>۳</sup> و بهینه‌سازی ازدحام ذرات<sup>۴</sup> به کار گرفته شده است و نتایج نشان می‌دهد از این دو روش، ازدحام ذرات عملکرد بهتری دریافتند مقادیر بهینه تقریبی تابع هدف مدل را به همراه داشته است. رنتیزلاس و همکاران<sup>۵</sup> در سال ۲۰۰۹ یک مدل زنجیره تأمین تبدیل زیست‌توده به انرژی الکتریکی با در نظر گرفتن تأسیسات تبدیل انرژی و شبکه‌های گرمایشی و خنک‌کننده‌ها در مناطق مختلف توسعه دادند. آن‌ها برای بهینه‌سازی شبکه زنجیره تأمین توسعه داده شده یک مدل ترکیبی دو مرحله‌ای توسعه دادند که در مرحله اول با استفاده از الگوریتم ژنتیک یک جواب اولیه تقریبی به دست آورده و سپس جواب به دست آمده را با استفاده از روش برنامه‌ریزی درجه‌دو ترتیبی<sup>۶</sup> به جواب بهینه نهایی تبدیل می‌کنند. ورا و همکاران<sup>۷</sup> در سال ۲۰۱۰ باهدف توسعه تولید سوخت سبز از روغن‌زیتون در کشورهای اسپانیا، ایتالیا و یونان یک مدل زنجیره تأمین توسعه دادند که مکان و مساحت سایت‌های کشت زیتون و ظرفیت نیروگاه‌های تبدیل را تعیین می‌کند. آن برای حل مدل

1. Metaheuristic

2. López et al.

3. Genetic

4. Particle swarm optimization

5. Rentizelas et al.

6. SQP

7. Vera et al.

از روش جستجوی هارمونی<sup>۱</sup> استفاده کردند و نشان دادند نتایج بهتری در مقایسه با روش‌های ژنتیک و ازدحام ذرات دارد. جیانگ و ژانگ<sup>۲</sup> در سال ۲۰۱۶ یک مدل طراحی زنجیره تأمین برای تولید سوخت سبز از پسماندهای روغن پخت و پز ارائه دادند و سپس با استفاده از روش ژنتیک مدل توسعه داده شده را حل نمودند. آزاده و همکاران<sup>۳</sup> در سال ۲۰۱۷ یک مدل بهینه‌سازی چندهدفه برای مدیریت یکپارچه جریان بالادستی و میانی زنجیره تأمین نفت خام با در نظر گرفتن معیارهای زیست محیطی توسعه و سپس برای حل مدل توسعه داده شده که از نوع غیرخطی است، یک روش فرآبتكاری چندهدفه ارائه دادند. به علاوه آن‌ها با مقایسه نتایج به دست آمده از روش پیشنهادی خود و سایر روش‌های فرآبتكاری چندهدفه مبتنی بر ژنتیک و ازدحام ذرات برتری روش خود را نشان دادند. خویشن<sup>۴</sup> دار و همکاران در سال ۱۳۹۵ یک مدل برنامه ریزی غیرخطی برای تعیین مکان بهینه رآکتور تولید زیست متان و همچنین چگونگی تخصیص انواع پسماند به عنوان ماده اولیه مورد نیاز توسعه داده و برای حل مدل از الگوریتم‌های ژنتیک و تکامل تفاضلی استفاده نمودند. بر اساس نتایج به دست آمده الگوریتم تکامل تفاضلی عملکرد بهتری از نظر مقدار تابع هدف در مقایسه با الگوریتم ژنتیک داشته است. در سال ۲۰۱۸ سلیمی و همکاران<sup>۵</sup> یک مدل طراحی شبکه تولید سوخت سبز ارائه دادند که علاوه بر بهینه‌سازی مراحل مختلف زنجیره تأمین، بحث قابلت اطمینان خطوط انتقالی بین اجزای مختلف شبکه را نیز در نظر می‌گیرد. برای حل مدل دو روش فرآبتكاری ژنتیک و خفاش<sup>۶</sup> به کار گرفته شده است. با هدف تولید هم‌زمان گرمایشی و الکتریسیته از زیست‌توده، رای و همکاران<sup>۷</sup> در سال ۲۰۱۸ یک مدل بهینه‌سازی چند معیاره توسعه دادند که بهترین ترکیب از مواد مختلف را با توجه به

1. Harmony search

2. Jiang and Zhang

3. Azadeh et al.

4. Salimi and Vahdani

5. Bat algorithm

6. Ray et al.

معیارهای اقتصادی، زیست‌محیطی و کاربری زمین و... مشخص می‌نماید. برای حل مدل از یک روش فرآبتكاری استفاده شده است و نتایج مدل برای یک مطالعه موردی در یک روستا در کشور هند ارائه شده است.

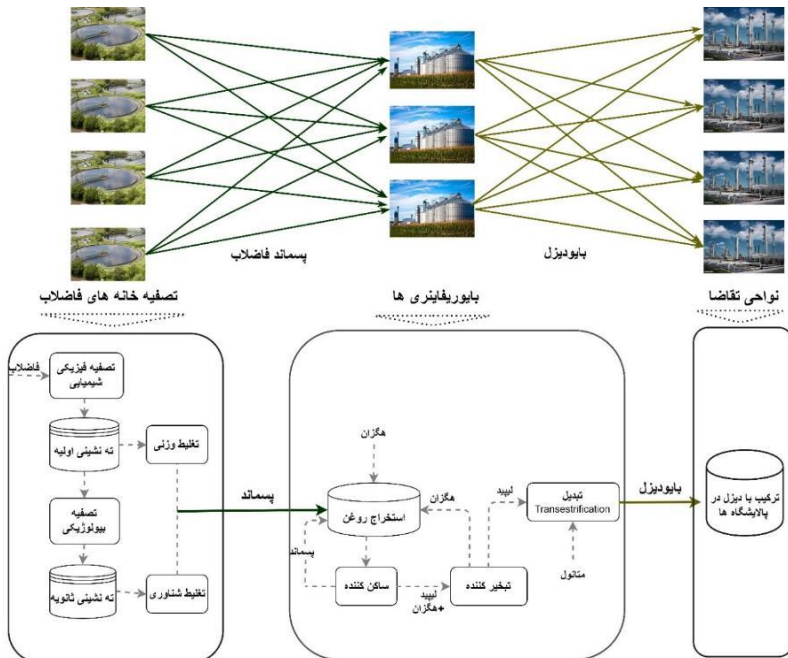
با توجه به پیشینه تحقیقات انجام شده، مطالعات بسیار محدودی درزمینه طراحی زنجیره تأمین تولید سوخت از فاضلاب شهری انجام گرفته است. بنابراین یکی از مهم‌ترین اهداف و نوآوری‌های این مقاله، ارائه یک مدل ریاضی طراحی شبکه زنجیره تأمین است که مراحل تولید سوخت از پسماندهای فاضلاب‌های شهری در مقیاس کلان را طراحی و بهینه‌سازی می‌نماید. به عبارت دقیق‌تر این مدل، جریان پسماندهای از تصفیه خانه‌ها به پالایشگاه تبدیل پسماند به سوخت، مکان و ظرفیت پالایشگاه‌ها و جریان سوخت تولیدی از پالایشگاه‌ها به نواحی تقاضا را به صورت بهینه تعیین می‌کند. به علاوه با توجه به این که به کارگیری این مدل برای تولید سوخت در مقیاس کشور منجر به مسئله‌ای با ابعاد گسترده خواهد شد، رویکردهای حل دقیق برای این مسئله کارایی مناسبی نداشته باشد. بر این اساس در این مقاله یک روش فرآبتكاری ترکیبی با بهره‌گیری از توانمندی‌های الگوریتم ژنتیک و بهینه‌سازی از دحام ذرات به کار گرفته می‌شود که می‌تواند جوابی نزدیک به جواب بهینه در بازه زمانی معقول فراهم کند. این روش ترکیبی از مزیت‌های الگوریتم از دحام ذرات همچون برخورداری از حافظه و سرعت همگرایی بالا و همچنین مزیت‌های الگوریتم ژنتیک همچون قدرت بالا در جستجوی فضای حل بهره می‌گیرد.

## ۲. فرایند تولید سوخت از فاضلاب

در یک نگاه کلی تولید سوخت از فاضلاب‌های شهری شامل مراحل زیر است: بعد از ورود فاضلاب‌های شهری به داخل تصفیه‌خانه‌ها، در گام اول عملیات تصفیه فیزیکی و شیمیایی انجام می‌گیرد. خروجی این بخش وارد مرحله بعدی تصفیه ثانویه می‌شود که در آن با استفاده از

میکروارگانیسم‌ها، تصفیه بیولوژیکی انجام می‌شود (سیدیکو و روحانی<sup>۱</sup>، ۲۰۱۱). بخش قابل توجهی از پسماندها را آب تشکیل می‌دهد لذا پسماندها به‌وسیله روش‌های تغليظ وزنی<sup>۲</sup> و تغليظ شناوری<sup>۳</sup> مقدار از آب خود را از دست می‌دهند. در ادامه پسماندهای آب گرفته تجمیع شده و به عنوان ماده اولیه وارد مرحله استخراج روغن می‌شود. برای مرحله استخراج روغن روش‌های مختلفی توسعه داده شده است. این روش‌ها در دو دسته؛ (۱) استخراج از پسماند آب گرفته، (۲) استخراج از پسماند خشک شده، قرار می‌گیرند. بر این اساس در صورت استفاده از روش استخراج از پسماندهای خشک شده، نیاز است که پسماندهای آب گرفته به‌وسیله روشن‌های خشک کردن، خشک شده و رطوبت آن‌ها کاهش یابد. در این تحقیق روش استخراج از پسماندهای آب گرفته به‌وسیله هگزان به کار گرفته شده است. خروجی این مرحله، لپید (روغن) به همراه هگزان است که به‌وسیله تبخیر، لپید از هگزان جدا شده و وارد مرحله تبدیل می‌شود. در مرحله تبدیل با استفاده از واکنش ترنس استریفیکاسیون<sup>۴</sup>، لپید به بیودیزل تبدیل می‌شود (الکیویسز و همکاران<sup>۵</sup>، ۲۰۱۴). فرایندهای ذکر شده در بالا به همراه مدل زنجیره تأمین پیشنهادی برای تولید سوخت از پسماند فاضلاب‌های شهری در شکل ۱ نشان داده شده است. در لایه اول این زنجیره تأمین، تصفیه‌خانه‌های فاضلاب قرار دارند که ورودی آن‌ها فاضلاب‌های شهری است. بعد از مراحل تصفیه اولیه و ثانویه در تصفیه‌خانه‌ها، پسماندها از تصفیه‌خانه‌ها خارج می‌شوند. سپس، پسماندها از تصفیه‌خانه‌ها به پالایشگاه‌های تبدیل حمل شده و در پالایشگاه‌های تبدیل ابتدا روغن آن‌ها استخراج شده و در ادامه روغن استخراجی به بیودیزل تبدیل می‌شود. در نهایت بیودیزل تولیدی به پالایشگاه‌های نفت موجود در نواحی مختلف کشور حمل شده تا در آنجا با سوخت دیزل ترکیب شده و سپس به جایگاه‌های عرضه سوخت فرستاده شود.

- 
1. Siddiquee and Rohani
  2. Gravity thickener
  3. Floating thickener
  4. Transesterification
  5. Olkiewicz et al.



شکل ۱. ساختار زنجیره تأمین تولید سوخت از فاضلاب شهری و مراحل آن

### ۳. تئوری تحقیق

در این بخش با توجه به توضیحات داده شده در بخش قبل، مدل ریاضی زنجیره تأمین تولید سوخت بیودیزل از پسماندهای فاضلاب شهری توسعه داده می‌شود. در ابتدا، مجموعه‌ها، پارامترها و متغیرها ارائه شده و سپس تابع هدف و محدودیت‌های مدل تشریح می‌شوند.

#### اندیس‌ها

مجموعه مکان‌های تصویه‌خانه‌های فاضلاب،  $i \in I$

مجموعه مکان‌های ممکن برای احداث پالایشگاه‌ها،  $j \in J$

مجموعه نواحی تقاضای سوخت،  $k \in K$

پارامترها	$T$
مجموعه دوره‌های زمانی، $t \in T$	$t$
مقدار در دسترس پسماند در ناحیه $i$ در دوره زمانی $t$ (تن)	$S_{i,t}$
هزینه ثابت احداث پالایشگاه در مکان $j$ در دوره زمانی $t$ (ریال)	$F_j^t$
هزینه متغیر هر واحد ظرفیت در پالایشگاه با ظرفیت پایه $Q^{cpl}$ در مکان $j$ در دوره $t$ (ریال)	$V_{j,cpl}^t$
هزینه عملیاتی تبدیل هر واحد فاضلاب در پالایشگاه در مکان $i$ در دوره زمانی $t$ (ریال)	$O_j^t$
ظرفیت پایه (حداقل ظرفیت) پالایشگاه (تن)	$Q^{cpl}$
حداکثر ظرفیت هر پالایشگاه (تن)	$Q^{cpu}$
میزان تقاضای ناحیه تقاضای $k$ در دوره زمانی $t$ (لیتر)	$D_k^t$
ضریب کاهش هزینه متغیر در صورت افزایش ظرفیت پالایشگاه	$\alpha$
ضریب تبدیل هر واحد پسماند به بیودیزل (تن/لیتر)	$\beta$
سرعت متوسط وسیله نقلیه (کیلومتر/ساعت)	$\mu$
فاصله میان تصفیه خانه $i$ و پالایشگاه $j$ (کیلومتر)	$d_{i,j}$
فاصله میان پالایشگاه $j$ و ناحیه تقاضای $k$ (کیلومتر)	$d_{j,k}$
هزینه حمل و نقل وابسته به مسافت برای انتقال هر واحد پسماند در هر بار انتقال (ریال)	$db$
هزینه حمل و نقل وابسته به زمان برای انتقال هر واحد پسماند در هر بار انتقال (ریال)	$tb$
هزینه حمل و نقل وابسته به مسافت برای انتقال هر واحد بیودیزل در هر بار انتقال (ریال)	$dq$
هزینه حمل و نقل وابسته به زمان برای انتقال هر واحد بیودیزل در هر بار انتقال (ریال)	$tq$
هزینه بارگیری هر واحد پسماند (ریال)	$lb$
هزینه بارگیری هر واحد بیودیزل (ریال)	$lq$
ظرفیت وسیله حمل پسماند از تصفیه خانه به پالایشگاه (تن)	$cab$
ظرفیت وسیله حمل بیودیزل از پالایشگاه به نواحی تقاضا (لیتر)	$caq$

هزینه دفن هر واحد پسماند در تصفیه‌خانه $j$ در دوره زمانی $t$ (ریال)	$p_i^t$	متغیرها
مقدار جریان پسماند از تصفیه‌خانه $j$ به پالایشگاه $j$ در دوره زمانی $t$ (تن)	$X_{i,j}^t$	
مقدار جریان بیودیزل از پالایشگاه $j$ به ناحیه تقاضای $k$ در دوره زمانی $t$ (لیتر)	$Z_{j,k}^t$	
مقدار ظرفیت پالایشگاه احدهای در ناحیه $j$ (تن)	$Q_j$	
متغیر $Y_j^t$ ، مقدار ۱ در صورت احداث پالایشگاه در مکان $j$ در دوره زمانی $t$ ، در غیر این صورت مقدار ۰	$Y_j^t$	
		مأخذ: نتایج تحقیق

## ۰ تابع هدف مدل ریاضی

تابع هدف مدل طراحی شبکه تولید سوخت از پسماند فاضلاب شهری (۱) از پنج بخش هزینه‌های احداث پالایشگاه (FC)، هزینه‌هایی عملیاتی شامل هزینه مواد اولیه، انرژی، تعمیرات نگهداری، نیروی کار و ... (OC)، هزینه‌های انتقال پسماند از تصفیه‌خانه‌ها به پالایشگاه‌ها (TC1)، هزینه‌های انتقال بیودیزل از پالایشگاه‌ها به نواحی تقاضا (TC2) و صرفه‌جویی حاصل از کاهش هزینه‌های دفن پسماند (PC)، تشکیل شده است (معروف‌فرمان، اکسیگلو و هوانگ<sup>۱</sup>). بخش هزینه‌های احداث شامل هزینه ثابت برای احداث (هزینه خرید زمین و...) و هزینه‌های متغیر که با توجه به ظرفیت هر پالایشگاه تغییر می‌کند. لازم به ذکر است هزینه‌های متغیر برای ساخت پالایشگاه با ظرفیت  $Q$ ، بر اساس هزینه متغیر برای ظرفیت پایه و با در نظر گرفتن ضریب کاهش هزینه  $(V_{j,cpl}^t (Q_j/Q^{cpl})^\alpha)$  ناشی از صرفه به مقیاس تعیین می‌شود. هزینه‌های انتقال بخش مهمی از هزینه‌های زنجیره تأمین سوخت‌های زیستی را در بر می‌گیرد. در این مطالعه برای تخمین دقیق هزینه‌های حمل و نقل، هزینه‌های بارگیری هر واحد پسماند و بیودیزل، هزینه وابسته

به زمان برای انتقال در هر بار بارگیری وسیله نقلیه و هزینه وابسته به مسافت برای انتقال در هر بار بارگیری وسیله نقلیه در نظر گرفته شده است (هوانگ، چن و فان، ۲۰۱۰). این مقادیر در دو بخش (TC1) و (TC2) لحاظ شده است. صرفه‌جویی حاصل از تبدیل هر واحد پسماند به این دلیل در نظر گرفته شده است که هزینه دفن و دفع پسماند‌ها مقدار قابل توجهی از هزینه‌های تصفیه فاضلاب را تشکیل می‌دهد و تبدیل پسماند به سوخت این هزینه‌ها را کاهش می‌دهد.

$$\min f = FC + OC + TC1 + TC2 - PC \quad (1)$$

$$FC = \sum_j \sum_t F_j^t Y_j^t + \sum_j \sum_t V_{j,cpl}^t \left( Q_j / Q^{cpl} \right)^{\alpha} Y_j^t \quad (2)$$

$$OC = \sum_j \sum_i \sum_t O_j^t X_{i,j}^t \quad (3)$$

$$TC1 = \sum_i \sum_j \sum_t \left( \frac{(db + tb/\mu) d_{i,j}}{cab} + lb \right) X_{i,j}^t \quad (4)$$

$$TC2 = \sum_j \sum_k \sum_t \left( \frac{(dq + tq/\mu) d_{j,k}}{caq} + lq \right) Z_{j,k}^t \quad (5)$$

$$PC = \sum_i \sum_j \sum_t p_i^t X_{i,j}^t \quad (6)$$

#### • محدودیت‌های مدل

$$\sum_j X_{i,j}^t \leq S_{i,t} \quad \forall i \in I, \forall t \in T, \quad (V)$$

$$\sum_i X_{i,j}^t \leq Q_j Y_j^t \quad \forall j \in J, \forall t \in T, \quad (\wedge)$$

$$Q^{cpl} \leq Q_j \leq Q^{cpu} \quad \forall j \in J, \quad (9)$$

$$Y_j^t \leq Y_j^{t+1} \quad \forall j \in J, \forall t \in T, \quad (10)$$

$$\beta \sum_i X_{i,j}^t = \sum_k Z_{j,k}^t \quad \forall i \in I, \forall j \in J, \forall t \in T, \forall k \in K, \quad (11)$$

$$\sum_j Z_{j,k}^t = D_k^t \quad \forall k \in K, \forall t \in T, \quad (12)$$

$$Y_j^t \in \{0,1\} \quad \forall j \in J, \forall t \in T, \quad (13)$$

$$Z_{j,k}^t, X_{i,j}^t, Q_j \quad \forall i \in I, \forall j \in J, \forall t \in T, \forall k \in K, \quad (14)$$

مجموعه محدودیت‌های (۷) تضمین می‌کند که مقدار انتقال پسماند در هر دوره و در هر تصفیه خانه از حداکثر میزان در دسترس پسماند موجود تجاوز نکند. مجموعه محدودیت‌های (۸) تضمین می‌کند که مقدار انتقالی به پالایشگاه از ظرفیت پالایشگاه تجاوز نکند. مجموعه محدودیت‌های (۹) نشان می‌دهد لازم است ظرفیت پالایشگاه‌ها میان حداکثر و حداقل میزان مجاز ظرفیت باشد. مجموعه محدودیت‌های (۱۰) نشان می‌دهد در صورت احداث پالایشگاه در یک مکان و در دوره زمانی  $t$ ، لازم است در دوره‌های بعد نیز این پالایشگاه کار کند. مجموعه محدودیت‌های (۱۱) تضمین می‌کند که جريان ورودی به هر پالایشگاه و در هر دوره ضرب در ضریب تبدیل پسماند به بیودیزل برابر با جريان خروجی است. مجموعه محدودیت‌های (۱۲) تضمین می‌کند که تقاضای هر ناحیه در هر دوره با بیودیزل انتقالی از پالایشگاه‌ها ارضاء شود. مجموعه محدودیت‌های (۱۳) و (۱۴) باينری و غير منفي بودن متغيرهای مدل را نشان می‌دهد.

#### ۴. روش حل پیشنهادی

در این بخش یک الگوریتم ترکیبی بر اساس الگوریتم‌های ژنتیک و ازدحام ذرات توسعه داده می‌شود که از توانمندی‌های هر کدام از این الگوریتم‌ها بهره می‌گیرد. به طور کلی الگوریتم‌های ترکیبی ژنتیک و ازدحام ذرات موجود در ادبیات را می‌توان در سه دسته (الف) الگوریتم‌های ترکیب ترتیبی، (ب) الگوریتم‌های ترکیب موازی و (ج) الگوریتم‌های ادغامی طبقه‌بندی نمود. در الگوریتم‌های ترکیب ترتیبی در هر تکرار ابتدا یکی از این دو الگوریتم اجرا شده و سپس

الگوریتم دیگر بر روی خروجی الگوریتم اول اعمال می‌شود (گارگ<sup>۱</sup>، ۲۰۱۶). در الگوریتم‌های ترکیب موازی دو الگوریتم ژنتیک و ازدحام ذرات به صورت موازی و همزمان بر روی یک جمعیت اولیه اعمال می‌شوند (کاو و زاهارا<sup>۲</sup>، ۲۰۰۸). در الگوریتم‌های ادغامی بخشی از یک الگوریتم را در دیگری ترکیب می‌کنند، برای نمونه از عملگرهای ترکیب و جهش الگوریتم ژنتیک برای تغییر و ایجاد موقعیت‌های جدید ( $P_{g,best}$ ) و ( $P_{i,best}$ ) استفاده می‌شود (پریمالاتها و نتراجان<sup>۳</sup>، ۲۰۰۹).

در این مقاله الگوریتم ترکیبی‌ای بر اساس الگوریتم‌های ژنتیک و ازدحام ذرات به کار گرفته شده است که قابلیت این را دارد که تأثیر هر یک از این الگوریتم‌ها را با طول تکرارهای الگوریتم کنترل کند. نقش الگوریتم‌های ژنتیک و ازدحام ذرات در الگوریتم ترکیبی پیشنهادی در شکل (۲) نشان داده شده است. در ابتدا یک جمعیت اولیه به صورت تصادفی ایجاد می‌شود. این جمعیت ایجاد شده که می‌تواند به عنوان کروموزوم در الگوریتم ژنتیک و یا ذره در الگوریتم ازدحام ذرات به کار رفته شوند، بر اساس تابع برازنده‌گی رتبه‌بندی می‌شوند. بر روی تعدادی از اعضای جمعیت بالاترین میزان شایستگی الگوریتم ژنتیک اعمال شده و به همان تعداد اعضای جدید ایجاد می‌کنند. الگوریتم ازدحام ذرات بر روی باقی اعضای جمعیت اعمال می‌شود. و بر اساس خروجی به دست آمده از الگوریتم ژنتیک، مقادیر سرعت هر ذره را با توجه به مقدار ( $P_{g,best}$ ) تنظیم می‌کند. در الگوریتم پیشنهادی نقش و تأثیر این دو الگوریتم با هر تکرار تغییر می‌کند. به عبارت دقیق‌تر در ابتدا الگوریتم ژنتیک بر روی تعداد  $NG_{min}$  از اعضای جمعیت و الگوریتم ازدحام ذرات بر روی تعداد  $NP_{max}$  از اعضای جمعیت اعمال می‌شود، با هر تکرار از تعدادی اعضای جمعیت الگوریتم ازدحام ذرات کاسته و در مقابل تعداد اعضای جمعیت ژنتیک افزایش پیدا می‌کند.

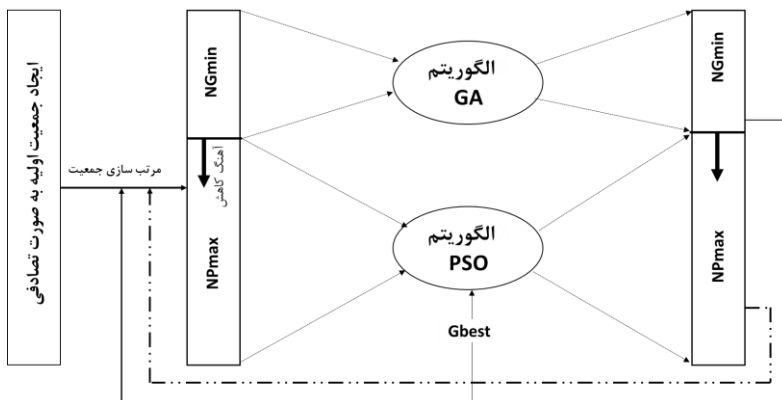
---

1. Garg  
2. Kao & Zahara  
3. Premalatha and Natarajan

$$NGiter = NG \min + \left( \frac{iter}{Maxiter} \right)^\beta \times (NG \max - NG \min) \quad (15)$$

در این معادله (NGiter) تعدادی اعضای جمعیت الگوریتم ژنتیک در تکرار (iter)، (NGmin) حداقل تعداد اعضای الگوریتم ژنتیک، (NGmax) حداکثر تعداد اعضای الگوریتم ژنتیک و (Maxiter) تعداد تکرار الگوریتم و ( $\beta$ ) تنظیم کننده سرعت تغییرات تعداد اعضای جمعیت الگوریتم ژنتیک است. لازم به ذکر است با مشخص شده تعداد اعضای جمعیت ژنتیک، تعداد اعضای جمعیت ازدحام ذرات برابر با تعداد کل اعضای جمعیت منهای اعضای جمعیت ژنتیک خواهد بود. می‌توان حالت دیگری در نظر گرفته شود که تعداد اعضای الگوریتم از (NGmin) شروع شود و با هر تکرار کاهش یابد تا به (NGmax) در تکرار آخر برسد. معادله کنترل کننده این حالت به صورت زیر خواهد بود:

$$NGiter = NG \max - \left( \frac{iter}{Maxiter} \right)^\beta \times (NG \max - NG \min) \quad (16)$$



شکل ۲. نمایش روابط الگوریتم‌های ژنتیک و ازدحام ذرات (کاو و زاهارا، ۲۰۰۸).

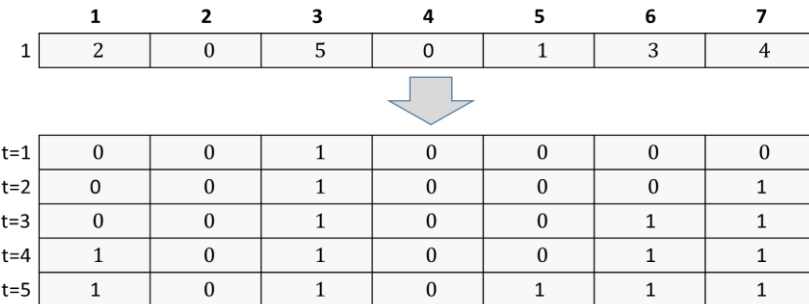
بر اساس توضیحات داده شده الگوریتم ترکیبی پیشنهادی دارای گام‌های زیر است:

- ۱) در ابتدا برای هر یک از اعضای جمعیت ساختار ماتریسی به ابعاد  $|TI+TK+1+1| \times |J|$  در نظر گرفته می‌شود که در شکل (۳) نشان داده شده است.

ماتریس حاضر دارای  $|J|$  ستون می‌باشد که نشان‌دهنده مکان‌های کاندید برای تأسیس پالایشگاه‌ها می‌باشد. سطر اول ماتریس نشان‌دهنده ظرفیت پالایشگاه‌ها و سطر دوم تعیین کننده مکان‌های احداث در دوره‌های مختلف است. سطرهای ۱ تا  $|T \times I|$  بعدی نشان‌دهنده جریان میان تصفیه خانه‌ها و پالایشگاه‌ها در دوره‌های مختلف و سطرهای ۱ تا  $|T \times K|$  بعداز آن جریان میان پالایشگاه‌ها و نواحی عرضه را در دوره‌های مختلف نشان می‌دهد. همان‌طور که ذکر شد در این ساختار مکان احداث با یک کروموزوم تک سطروی بیان شده است و متغیر  $j$  به کار گرفته شده در آن نشان‌دهنده این است که در مکان  $j$  پالایشگاه چند دوره فعالیت می‌کرده است. برای مثال کروموزوم مربوط به مکان احداث پالایشگاه‌ها برای ۷ مکان و ۵ دوره در شکل ۴۴ رسم شده است.  $N_1 = 2$  نشان می‌دهد که در مکان ۱ در دوره‌های ۵ و ۴ پالایشگاه فعالیت خواهد داشت. به همین ترتیب سایر مقادیر، وضعیت پالایشگاه در مکان‌ها و دوره‌های مختلف به دست خواهد آمد.

	۱	۲	۳	...	$ J -2$	$ J -1$	$ J $
1	$Q_1$	$Q_2$	$Q_3$	...	$Q_{j-2}$	$Q_{j-1}$	$Q_j$
1	$N_1$	$N_2$	$N_3$	...	$N_{j-2}$	$N_{j-1}$	$N_j$
1	$X_{1,1}^1$	$X_{1,2}^1$	$X_{1,3}^1$	...	$X_{1,j-2}^1$	$X_{1,j-1}^1$	$X_{1,j}^1$
...	...	...	...	...	...	...	...
$ T \times I $	$X_{i,1}^t$	$X_{i,2}^t$	$X_{i,3}^t$	...	$X_{i,j-2}^t$	$X_{i,j-1}^t$	$X_{i,j}^t$
1	$Z_{1,1}^1$	$Z_{1,2}^1$	$Z_{1,3}^1$	...	$Z_{1,j-2}^1$	$Z_{1,j-1}^1$	$Z_{1,j}^1$
...	...	...	...	...	...	...	...
$ K \times I $	$Z_{i,1}^t$	$Z_{i,2}^t$	$Z_{i,3}^t$	...	$Z_{i,j-2}^t$	$Z_{i,j-1}^t$	$Z_{i,j}^t$

شکل ۳. ساختار شماتیک هر یک از اعضای جمعیت



The diagram illustrates the conversion of a binary matrix into a binary sequence over time steps. At the top, a 7x7 binary matrix is shown with columns labeled 1 through 7. An arrow points down to a second matrix where each row represents a time step from t=1 to t=5. The columns of the second matrix correspond to the columns of the first matrix. The values in the second matrix are identical to the values in the first matrix's columns.

	1	2	3	4	5	6	7
1	2	0	5	0	1	3	4

t=1	0	0	1	0	0	0	0
t=2	0	0	1	0	0	0	1
t=3	0	0	1	0	0	1	1
t=4	1	0	1	0	0	1	1
t=5	1	0	1	0	1	1	1

شکل ۴. تبدیل کروموزوم مرتبط با احداث پالایشگاهها

به ازای متغیرهای  $Q'_j$ ،  $X'^t_{i,j}$ ،  $Z'^t_{j,k}$  و  $Q_j$ ، متغیرهایی به صورت  $X^t_{i,j}$ ،  $Z^t_{j,k}$  و  $Q_j$  تعریف می‌شود که در بازه  $[0-1]$  مقدار می‌گیرند. این تغییر متغیر باعث می‌شود که متغیرها در بازه‌های یکسانی تغییر کنند، همچنین تضمین می‌کند که متغیرها به صورتی مقدار بگیرند که محدودیت‌های (۹)، (۱۱) و (۱۲) ارضاء شوند. محدودیت (۱۰) با توجه به توضیحات بخش قبل ارضاء شود و محدودیت‌های (۷) و (۸) با تابع جریمه به تابع هدف منتقل می‌شوند.

$$Q_j = C^{cpu} + (C^{cpu} - C^{cpl})Q_j \quad \forall j, \quad (17)$$

$$Z^t_{j,k} = D^t_k Y^t_j Z'^t_{j,k} / \sum_j Y^t_j Z'^t_{j,k} \quad \forall k, t, \quad (18)$$

$$X^t_{i,j} = Y^t_j X'^t_{i,j} \sum_k Z^t_{j,k} / \beta \sum_i X'^t_{i,j} \quad \forall j, t, \quad (19)$$

(۲) تعریف مقادیر  $NP \max$  و  $NG \min$  ایجاد یک جمعیت اولیه به تعداد  $(NP \max + NG \min)$  به صورت تصادفی.

(۳) تعریف بردار موقعیت ذره  $i$  ( $X_i$ )، بردار سرعت ذره  $i$  ( $V_i$ )، بردار بهترین موقعیت ذره  $i$  ( $P_{g,best}$ ) و بردار بهترین موقعیتی که مجموعه ذرات به آن دست یافته‌اند ( $P_{i,best}$ )

بر اساس الگوریتم ازدحام ذرات

(۴) محاسبه مقدار شاخصی برای همه اعضای جمعیت بر اساس تابع هدف مدل و رتبه‌بندی آن‌ها.

- ۵) انتخاب اعضایی با بالاترین میزان شایستگی به تعداد  $NGiter$  با توجه به معادله (۱۵) برای الگوریتم ژنتیک و باقی اعضای جمعیت برای الگوریتم ازدحام ذرات.
- ۶) انتخاب  $Nc$  عضو از اعضای انتخاب شده برای الگوریتم ژنتیک در گام قبل به وسیله چرخه رولت و اعمال ترکیب تک نقطه‌ای، ترکیب دونقطه‌ای و ترکیب جامع بر روی مقادیر گسسته متناظر با احداث پالایشگاه (سرینیواس و پاتنایک<sup>۱</sup>، ۱۹۹۴) و اعمال ترکیب حسابی بر روی متغیرهای پیوسته (هوک، جوینز و کای<sup>۲</sup>، ۱۹۹۵).
- ۷) مقایسه بهترین موقعیت دو والد و اختصاص موقیت مطلوب تر بر اساس تابع برازنده‌گی به فرزندان و همچنین اختصاص تصادفی بردار سرعت والدین به فرزندان.
- ۸) انتخاب  $Nm$  عضو از اعضای الگوریتم ژنتیک به صورت تصادفی و اعمال جهش تعویضی بر روی مقادیر گسسته (هوک و همکاران<sup>۳</sup>، ۱۹۹۵) و جهش با مقادیر تابع نرمال بر روی مقادیر پیوسته (کاو و زاهارا<sup>۴</sup>، ۲۰۰۸).
- ۹) اختصاص بهترین موقعیت و سرعت عضو قبل از جهش به بهترین موقعیت و سرعت ذره بعد از جهش.
- ۱۰) رتبه‌بندی اعضای جمعیت اولیه الگوریتم ژنتیک، اعضای ترکیب شده و اعضای جهش یافته و انتخاب  $NGiter$  از آن‌ها با بالاترین میزان شایستگی و به روزرسانی بهترین مقدار اعضای جمعیت ( $P_{g,best}$ ).
- ۱۱) به روزرسانی موقعیت و سرعت هر عضو با توجه به معادله‌های زیر و مقدار  $P_{g,best}$  به دست آمده از الگوریتم ژنتیک.

- 
1. Srinivas and Patnaik
  2. Houck and Joines and Kay
  3. Houck and Joines and Kay.
  4. Kao and Zahara

$$V_i(t) = \quad \quad \quad (20)$$

$$w \times V_i(t-1) + w \times c_1 \times rand_1 \times (P_{i,best} - X_i(t-1)) + w \times c_2 \times rand_2 \times (P_{g,best} - X_i(t-1)) \\ X_i(t) = X_i(t-1) + V_i(t) \quad \quad \quad (21)$$

که در آن  $w$  ضریب وزنی اینرسی است که نشان‌دهنده میزان تأثیر سرعت در تکرار قبل بر سرعت در تکرار فعلی است،  $w.c_1$  و  $w.c_2$  به ترتیب وزن حرکت در مسیر بهترین مقدار ذره موردنبررسی و در مسیر بهترین مقدار یافته شده در بین کل ذرات را مشخص می‌کند و  $rand_1$  و  $rand_2$  دو عدد تصادفی با مقادیر یکنواخت بین [۰-۱] هستند. در ادبیات پیشنهادشده است که مقادیر مناسب برای  $w$  به وسیله معادله  $w = 2 / \sqrt{2 - c - \sqrt{c^2 - 4c}}$  تعیین شود که در آن  $c = c_1 + c_2$  و مقدار  $c$  بزرگ‌تر از ۴ است.

(۱۲) محاسبه موقعیت هر عضو با مقادیر پیوسته به وسیله معادله (۲۱) و موقعیت هر عضو با مقادیر

گسسته به وسیله تبدیل مقادیر پیوسته به گسسته بر اساس معادله زیر:

$$\min(\lfloor (T+1) \text{sigmoid}(V) \rfloor, T) + rand \quad (22)$$

در این معادله ابتدا مقدار سرعت درتابع سیگمید قرار داده می‌شود و سپس کمینه ضرب (T+1) در تابع سیگمید و مقدار T انتخاب می‌شود. علت استفاده از مقدار کمینه این است که مقدار T نیز امکان انتخاب داشته باشد. نهایتاً مقدار به دست آمده با یک عدد تصادفی میان ۱ و -۱ جمع می‌شود که از همگرایی زودرس جلوگیری کند.

(۱۳) به روزرسانی مقادیر  $P_{i,best}$  برای اعضای جمعیت ازدحام ذرات و به روزرسانی مقدار  $P_{g,best}$ .

(۱۴) ادغام اعضای جمعیت الگوریتم ازدحام ذرات و ژنتیک، رتبه‌بندی آن‌ها و تکرار الگوریتم از گام (۶).

## ۵. پیاده‌سازی و نتایج

برای بررسی عملکرد و قابلیت‌های مدل طراحی شبکه توسعه داده، در این بخش مدل برای طراحی شبکه زنجیره تأمین تولید سوخت از فاضلاب‌های شهری در کشور به کاررفته می‌شود. فرضیات و داده‌های موردنیاز برای پارامترهای مختلف مدل به شرح زیر است:

دوره برنامه‌ریزی مدل ۵ ساله در نظر گرفته شده است و هر دوره به عنوان یک مرحله از مدل لحاظ شده است. بر اساس آخرین آمار منتشر شده در سال ۱۳۹۴ توسط شرکت مهندسی آب و فاضلاب کشور تعداد ۱۶۰ تصفیه‌خانه در مدار بهره‌برداری در کشور قرار دارند (www.sta.nww.ir). برای تولید سوخت از فاضلاب‌های شهری در دوره ساله، از میان تصفیه‌خانه‌های کشور که به فاز اجرایی رسیده‌اند تعداد ۵۰ تصفیه‌خانه در نقاط مختلف کشور انتخاب شده است. با توجه به این که پسماند‌ها تصفیه‌خانه‌های فاضلاب مقدار آب بالایی دارند، حمل و نقل پسماند‌ها از تصفیه‌خانه‌ها به پالایشگاه‌ها هزینه بالایی به همراه خواهد داشت. بر اساس مطالعات انجام گرفته (معرفzman، اکسیگلو و هرناندز<sup>۱</sup>، ۲۰۱۵)، شاعع ۵۰ کیلومتری از تصفیه‌خانه‌ها به عنوان فاصله اقتصادی برای انتقال در نظر گرفته شده است و ۴۰ مکان کاندید در این شاعع با در نظر گیری پوشش کل کشور برای احداث پالایشگاه‌ها انتخاب شده است. در این مدل پالایشگاه‌های نفت موجود در کشور به عنوان نواحی عرضه در نظر گرفته شده است. به این صورت که سوخت تولیدی از فاضلاب‌های شهری به پالایشگاه‌ها منتقل شده و بعد از ترکیب با سوخت دیزل تولیدی در پالایشگاه‌ها به وسیله زیرساخت‌های حمل و نقل و توزیع سوخت موجود به سایر نقاط کشور توزیع خواهد شد. بر این اساس ۹ پالایشگاه نفت آبادان، شازند، اصفهان، بندرعباس، تبریز، تهران، شیراز، کرمانشاه و لارawan به عنوان نواحی عرضه به کار گرفته شده است. فواصل میان تصفیه‌خانه‌ها و پالایشگاه‌های تولید سوخت از فاضلاب و همچنین فواصل میان پالایشگاه‌های تولید سوخت از نواحی عرضه به وسیله نرم‌افزار ArcGIS محاسبه شده است. هزینه‌های حمل و نقل مربوط به انتقال

پسماند‌های فاضلاب از تصفیه‌خانه‌ها به پالایشگاه‌ها و از پالایشگاه‌ها به نواحی عرضه با در نظر گیری هزینه‌های وابسته به زمان و وابسته به مسافت و هزینه‌های بارگیری بر اساس معادله‌های (۴) و (۵) محاسبه شده است. لازم به ذکر است برخی مقادیر در این معادله بر اساس مقاله (هوانگ و همکاران، ۲۰۱۰) استخراج شده است و برخی مقادیر از متوسط هزینه برابری در نقاط مختلف کشور محاسبه شده است. هزینه‌های ثابت و عملیاتی پالایشگاه‌های تبدیل پسماند فاضلاب به بیو دیزل بر اساس فتاوری به کار گرفته شده برای تولید در مقیاس انبوه که در مقالات (معروف‌مان، اکسیگلو و هوانگ، ۲۰۱۴) گزارش شده است، تخمین زده شده است. سپس هزینه‌ها در استان‌های مختلف با توجه به شاخص بهای کالا و خدمات مصرفی در مناطق شهری ایران در سال ۱۳۹۶ محاسبه گردیده است. بر اساس آخرین ترازنامه انرژی منتشر شده کشور در سال ۱۳۹۴ میزان مصرف سوخت دیزل به طور متوسط ۸۱ میلیون لیتر در روز بوده است. هدف این مطالعه برنامه‌ریزی برای جایگزینی ۱٪ از کل مصرف سالانه سوخت دیزل کشور با سوخت تولیدی از فاضلاب در سال اول و افزایش یک‌درصدی این میزان در هرسال تا در سال پنجم برنامه‌ریزی به مقدار ۵٪ برسد.

#### ۵-۱. تنظیم پارامتر الگوریتم‌ها

عملکرد الگوریتم‌های فراتکاری به میزان قابل توجهی وابسته به مقادیر پارامترهای آن الگوریتم است. برای تنظیم پارامترها در این مقاله از روش طراحی آزمایش تاگوچی<sup>۳</sup> است. این روش که یکی از روش‌های شناخته شده برای تنظیم پارامتر الگوریتم‌های فراتکاری است با انجام تعدادی آزمایش مشخص به جای بررسی تمام ترکیب‌های ممکن بهترین مقدار را برای هر پارامتر پیشنهاد می‌دهد. روش تاگوچی با استفاده از نسبت سیگنال به نویز (S/N) زیر میزان پراکندگی حول یک

1. Huang et al.

2. Marufuzzaman and Ekşioğlu and Huang

3. Taguchi

مقدار مشخص را بیان می‌کند. بر اساس روش تاگوچی با توجه به این که برای هر الگوریتم ۴ پارامتر و ۳ سطح مقدار برای هر پارامتر در نظر گرفته شده است، طرح ۹<sup>۲</sup> به کاررفته است. بر اساس نتایج به دست آمده مقادیر مناسب پارامترهای مختلف الگوریتم‌ها برای مدل‌های مختلف در جدول ۳ نشان داده شده است.

جدول ۱. مقادیر مناسب پارامترهای الگوریتم‌ها برای مدل‌های طراحی شبکه

الگوریتم	پارامتر	مقیاس کوچک	مقیاس متوسط	مقیاس بزرگ
ژنتیک	Npop	۱۰۰	۱۲۰	۱۲۰
	Pc	۰/۷	۰/۸	۰/۸
	Pm	۰/۲	۰/۲	۰/۲
	mu	۰/۱۵	۰/۱۵	۰/۱۵
	Npop	۸۰	۱۲۰	۱۲۰
	C1	۲/۰۵	۲/۰۵	۲/۰۵
	C2	۲/۰۵	۲/۰۵	۲/۰۵
	w	۰/۹۵	۱	۱/۰۵
	NGmin	۴۰	۴۰	۴۰
	NPmax	۸۰	۸۰	۸۰
ترکیبی	NGmax	۸۰	۸۰	۸۰
	$\beta$	۱	۱	۱

مأخذ: نتایج تحقیق

## ۲-۵. مقایسه و تحلیل نتایج

در ابتدا برای محاسبه مقدار دقیق تابع هدف مدل‌های طراحی شبکه با ابعاد مختلف، انواع الگوریتم‌های حل دقیق مدل‌های غیرخطی در نرم‌افزار گمز ۱ مورد ارزیابی قرار گرفت. با اعمال محدودیت زمانی پنج ساعت تنها الگوریتم بارن ۲ توانست مقدار بهینه تابع هدف مسائل شماره ۱، ۲ و ۳ از مدل‌های طراحی شبکه با مقیاس کوچک را حل نماید. لازم به ذکر است که مدل

طراحی شبکه توسعه داده شده برای تبدیل فاضلاب به سوخت از نوع مدل‌های بهینه‌سازی غیرمحدب می‌باشد، لذا الگوریتم بارن تضمین نمی‌کند که جواب‌های به دست آمده جواب‌های بهینه سراسری باشند. در ادامه با استفاده از الگوریتم‌های ژنتیک، ازدحام ذرات و الگوریتم ترکیبی توسعه داده شده با استفاده از نرم‌افزار متلب مقدار تابع هدف مدل در مقیاس کوچک محاسبه شده است. لازم به ذکر است برای هر مسئله، هر کدام از این الگوریتم‌ها ۵ بار اجرا شده است و نتایج در جدول‌های ۲-۴ نشان داده شده است. از نتایج به دست آمده نکات زیر قابل برداشت است:

- بر اساس نتایج الگوریتم ترکیبی توسعه داده شده در مسائل شماره ۱، ۲ و ۳ اختلاف کمتری با مقدار بهینه به دست آمده از الگوریتم بارن در مقایسه با سایر الگوریتم‌ها دارد و لذا بهترین عملکرد را در بین الگوریتم‌های ازدحام ذرات، ژنتیک و الگوریتم ترکیبی توسعه داده شده دارد. در ارتباط با مسائل شماره ۴ و ۵ نیز اگرچه الگوریتم بارن قادر به محاسبه دقیق نبوده است اما الگوریتم ترکیبی بهترین مقدار را در مقایسه با سایر الگوریتم‌ها به دست آورده است.
- جدول ۲ نشان می‌دهد که الگوریتم بارن جواب بهینه مسائل شماره ۱، ۲ و ۳ را در مدت زمان ۲ تا ۳ ساعت فراهم کرده است. این در حالی است که نتایج الگوریتم‌های ترکیبی، ژنتیک و ازدحام ذرات در زمان کمتر از ۳۰ ثانیه به دست آمده است. این نتیجه نشان می‌دهد که محاسبه دقیق تابع هدف مدل طراحی شبکه حتی برای نمونه‌های بسیار کوچک بسیار بالا است اما الگوریتم‌های فرآیندکاری می‌توانند جواب مناسبی در بازه زمانی محدود ایجاد کنند. به علاوه نتایج نشان می‌دهد که الگوریتم ترکیبی از منظر زمان محاسباتی اختلاف قبل توجهی با الگوریتم‌های ژنتیک و ازدحام ذرات ندارد.
- در ۵ مسئله مدل طراحی شبکه مقیاس متوسط، الگوریتم ترکیبی عملکرد بهتری در مقایسه با الگوریتم‌های ژنتیک و ازدحام ذرات دارد. برای مقایسه میزان این عملکرد، تفاوت الگوریتم ترکیبی با الگوریتم ژنتیک در حدود ۵٪ تا ۱۲٪ است این در حالی است که تفاوت الگوریتم ترکیبی با الگوریتم ازدحام ذرات بین ۵٪ تا ۲۷٪ متغیر است. مقایسه عملکرد دو الگوریتم ازدحام

ذرات و ژنتیک نشان می‌دهد که در میان ۵ مسئله مقایس متوسط، در ۴ مسئله الگوریتم ژنتیک عملکرد بهتری در مقایسه با الگوریتم ازدحام ذرات داشته است اما در مسئله ۳ الگوریتم ازدحام ذرات نسبت به الگوریتم ژنتیک برتری دارد.

- در مدل طراحی شبکه مقایس بزرگ نیز الگوریتم ترکیبی توسعه داده شده عملکرد بهتری در مقایسه با الگوریتم‌های ژنتیک و ازدحام ذرات از خود نشان داده است. به عبارت دقیق‌تر الگوریتم ترکیبی در مقایسه با الگوریتم ژنتیک  $\frac{1}{3} \sim 7\%$  و در مقایسه با الگوریتم ازدحام ذرات  $6\% \sim 11\%$  عملکرد بهتر داشته است. نتایج همچنان نشان می‌دهد برخلاف مدل طراحی شبکه در مقایس متوسط که در مسائل مختلف عملکرد الگوریتم‌های ازدحام ذرات و ژنتیک نسبت به الگوریتم ترکیبی بسیار متغیر است، در مدل طراحی شبکه مقایس بزرگ نسبت عملکرد آن‌ها به الگوریتم ترکیبی برای مسائل مختلف تغییرات چندانی نمی‌کند.
- مقایسه زمان محاسباتی الگوریتم ترکیبی با الگوریتم‌های ژنتیک و ازدحام ذرات نشان می‌دهد که در مدل‌های مقایس متوسط و مقایس بزرگ الگوریتم ترکیبی زمان محاسباتی به نسبت بالاتری دارد. اما از آنجاکه این افزایش زمان مقدار قابل توجهی نمی‌باشد و در مقابل الگوریتم ترکیبی بهبود عملکرد قابل توجهی نسبت به سایر الگوریتم‌ها نشان داده است لذا می‌توان گفت این افزایش محدود زمان خلیلی در برتری الگوریتم ترکیبی وارد نمی‌کند.

جدول ۴. نتایج الگوریتم‌های بارن، ژنتیک، ازدحام ذرات و ترکیبی برای مدل مقایس کوچک

		الگوریتم ازدحام ذرات		الگوریتم ترکیبی		الگوریتم بارن		سایز مسئله	
زمان	مقدار	زمان	مقدار	زمان	مقدار	زمان	مقدار بهینه	سایز مسئله	
(ثانیه)	(ریال)	(ثانیه)	(ریال)	(ثانیه)	(ریال)	(ثانیه)	(ریال)	$ I  \times  J  \times  K $	$\times  T $
۳	4.43E+11	۳	3.94E+11	۳	3.94E+11	۶۴۲۰	3.75E+11	$3 \times 3 \times 2 \times 2$	
۱۰	5.36E+11	۹	5.15E+11	۱۱	5.15E+11	۷۲۳۵	4.70E+11	$5 \times 4 \times 2 \times 2$	
۱۶	7.79E+11	۱۵	7.13E+11	۱۶	7.13E+11	۹۵۸۷	6.56E+11	$7 \times 6 \times 3 \times 2$	
۳۱	2.69E+12	۲۰	2.25E+12	۳۴	2.24E+12	-	-	$9 \times 8 \times 3 \times 3$	
۳۰	1.38E+12	۲۹	1.26E+12	۳۱	1.26E+12	-	-	$10 \times 9 \times 4 \times 3$	

مأخذ: نتایج تحقیق

جدول ۵. نتایج الگوریتم‌های ژنتیک، ازدحام ذرات و ترکیبی برای مدل مقیاس متوسط

الگوریتم ژنتیک				الگوریتم ازدحام ذرات				سایز مسئله
زمان	مقدار	زمان	مقدار	زمان	مقدار	زمان	مقدار	$ I  \times  J  \times  K  \times  T $
(ثانیه)	تقریبی(ریال)	(ثانیه)	تقریبی(ریال)	(ثانیه)	تقریبی(ریال)	(ثانیه)	تقریبی(ریال)	
۹۶	2.19E+12	۹۵	1.72E+12	۹۹	1.67E+12	۲۱	$\times 20 \times 4 \times 3$	
۱۰۳	2.84E+12	۱۰۱	2.2E+12	۱۰۹	2.13E+12	۲۳	$\times 21 \times 5 \times 3$	
۱۱۰	2.35E+12	۱۰۹	2.29E+12	۱۱۸	2.29E+12	۲۵	$\times 22 \times 5 \times 3$	
۱۴۲	5.65E+12	۱۳۹	4.53E+12	۱۴۴	4.51E+12	۲۷	$\times 23 \times 6 \times 4$	
۱۶۳	4.46E+12	۱۶۰	4.65E+12	۱۶۶	4.53E+12	۲۹	$\times 24 \times 6 \times 4$	

مأخذ: نتایج تحقیق

جدول ۶. نتایج الگوریتم‌های ژنتیک، ازدحام ذرات و ترکیبی برای مدل مقیاس بزرگ

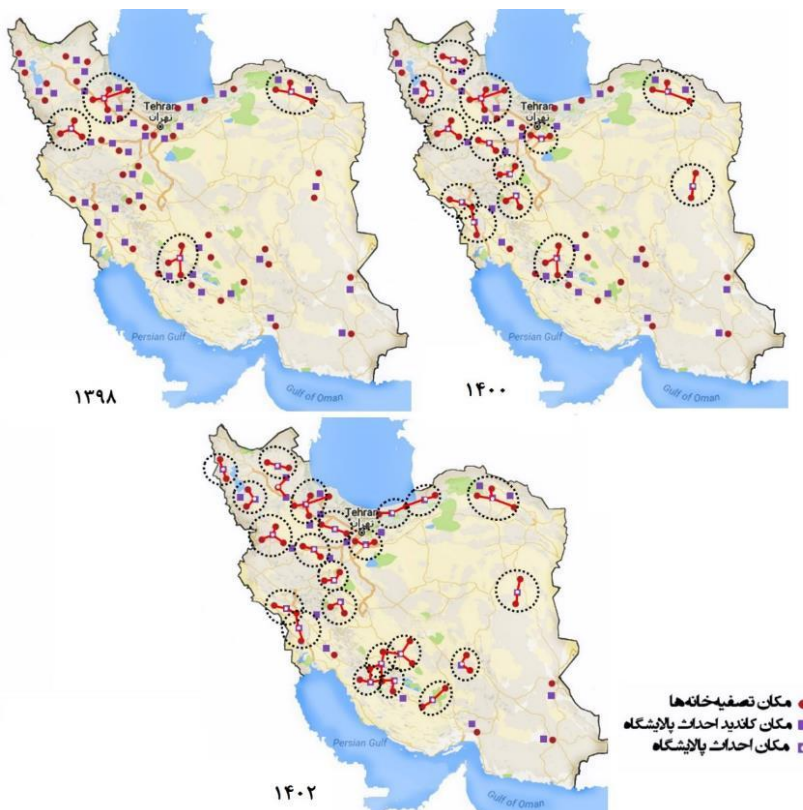
الگوریتم ژنتیک				الگوریتم ازدحام ذرات				سایز مسئله
زمان	مقدار	زمان	مقدار	زمان	مقدار	زمان	مقدار	$ I  \times  J  \times  K  \times  T $
(ثانیه)	تقریبی(ریال)	(ثانیه)	تقریبی(ریال)	(ثانیه)	تقریبی(ریال)	(ثانیه)	تقریبی(ریال)	
۳۳۹	5.23E+12	۳۴۱	5.08E+12	۳۵۰	4.75E+12	۴۲	$\times 36 \times 7 \times 4$	
۳۵۷	5.82E+12	۳۵۹	5.65E+12	۳۶۹	5.47E+12	۴۴	$\times 37 \times 8 \times 4$	
۴۹۸	1E+13	۵۰۲	9.57E+12	۵۱۶	9.23E+12	۴۶	$\times 38 \times 8 \times 5$	
۴۷۸	9.8E+12	۴۸۰	9.62E+12	۴۹۲	9.24E+12	۴۸	$\times 39 \times 9 \times 5$	
۵۴۰	1.03E+13	۵۴۸	9.96E+12	۵۵۰	9.27E+12	۵۰	$\times 40 \times 9 \times 5$	

مأخذ: نتایج تحقیق

### ۵-۳. ساختار شبکه زنجیره تأمین

یکی از موضوعات مهم، بررسی ساختار بهینه شبکه زنجیره تأمین تولید سوخت از فاضلاب شهری در دوره برنامه‌ریزی ۵ ساله است. شکل ۶ ساختار بهینه شبکه را در سال‌های ۱۳۹۸، ۱۴۰۰ و ۱۴۰۲ به عنوان سال اول، سال میانی و سال انتهایی دوره برنامه‌ریزی نشان می‌دهد. بر اساس نتایج لازم است در سال ۱۳۹۸ تعداد ۴ پالایشگاه تأسیس شود. همان‌طور که مشخص است هر کدام از این پالایشگاه‌ها تنها از ۳ یا ۴ تصفیه‌خانه پسمند فاضلاب موردنیاز برای تولید سوخت

را تأمین می‌کنند. این موضوع نشان می‌دهد که شبکه زنجیره تأمین تولید سوخت ساختاری غیرمتumer کز دارد که به دنبال تأسیس پالایشگاه‌هایی با ظرفیت محدود در نقاط مختلف کشور و تأمین پسماند از تعداد محدودی تصفیه خانه است. این ساختار در مقابل ساختار متumer کز قرار می‌گیرد که در آن تعداد محدودی پالایشگاه‌ها با ظرفیت‌های بالا تأسیس می‌شود و هر کدام از پالایشگاه‌ها با تعداد زیادی تصفیه خانه همکاری می‌کند. از منظر هزینه، در ساختار متumer کز هزینه‌های تولید در پالایشگاه‌ها با ظرفیت‌های بالا به علت بهره از صرفه به مقیاس پایین تر است اما در مقابل هزینه‌های حمل و نقل به مقدار قابل توجیه افزایش می‌یابد. علت افزایش هزینه‌های حمل و نقل این است که پسماند‌های موردنیاز لازم است از تعداد بیشتری تصفیه خانه در نقاط دورتر از پالایشگاه تأمین شود و از طرفی پسماند‌ها حجم هستند و هزینه‌های انتقال آن‌ها بالاست شکل ۶ همچنین نشان می‌دهد با افزایش تولید سوخت از سال ۱۳۹۸ تا سال ۱۴۰۰ تعداد موردنیاز پالایشگاه از ۴ به ۱۳ افزایش خواهد یافت. همانند ساختار بهینه در سال ۱۳۹۸، در سال ۱۴۰۰ نیز ساختار شبکه به صورت غیرمتumer کز با تعداد بالای پالایشگاه خواهد بود. این موضوع نشان می‌دهد که با افزایش تولید استفاده از پالایشگاه‌هایی با ظرفیت پایین تر اقتصادی تر است. علت این موضوع می‌تواند این باشد که برای افزایش تولید نیاز به احداث پالایشگاه‌هایی علاوه بر پالایشگاه‌های ساخته شده در سال ۱۳۹۸ است و لازم است پالایشگاه‌ها در نقاطی احداث شود که فاصله بیشتری از تصفیه خانه‌ها دارند، لذا برای کاهش هزینه‌های حمل و نقل از ظرفیت پایین تری برای پالایشگاه‌ها استفاده می‌شود. نتایج همچنین نشان می‌دهد در سال ۱۴۰۲ تعداد پالایشگاه‌های موردنیاز از ۱۳ به ۲۲ افزایش خواهد یافت.



شکل ۶. ساختار بهینه شبکه زنجیره تأمین در سال‌های ۱۴۰۲ و ۱۴۰۰ و ۱۳۹۸

#### ۵-۴. آنالیز حساسیت

پایین بودن قیمت سوخت‌های فسیلی در کشور در مقایسه با سایر کشورها باعث می‌شود که سوخت‌های سبز به علت هزینه بالای تولید توانایی رقابت در بازار انرژی کشور را نداشته باشند. این در حالی است که در بسیاری از نقاط جهان به علت هزینه بالای سوخت‌های فسیلی، تولید سوخت‌های سبز صرفه اقتصادی دارد. یکی از مهم‌ترین مواردی که لازم است در ارتباط با تولید سوخت‌های سبز در کشور بررسی شود، یافتن راهکارهایی برای کاهش هزینه تولید این سوخت‌ها است. آنالیز حساسیت بر روی پارامترهای مختلف زنجیره تأمین تولید سوخت از فاضلاب شهری آشکار می‌کند که استراتژی‌های کاهش هزینه لازم است بر روی چه بخش‌هایی

متمرکز شود. در این بخش اثر پارامترهایی که در ادبیات به عنوان عوامل مؤثر در هزینه کل زنجیره تأمین تولید سوخت از فاضلاب نقش دارند تحلیل می‌شوند (معروف‌مان، اکسیگلو و هوانگ<sup>۱</sup>، ۲۰۱۴). این پارامترها شامل (۱) هزینه انتقال فاضلاب از تصفیه خانه به پالایشگاه، (۲) هزینه انتقال بیودیزل از پالایشگاه به نواحی عرضه، (۳) نرخ تبدیل فاضلاب به سوخت، (۴) هزینه متغیر ایجاد هر واحد ظرفیت در پالایشگاه، (۵) هزینه ثابت احداث پالایشگاه و (۶) هزینه عملیاتی تولید هر واحد سوخت است. برای بررسی اثر پارامترهای ذکر شده، هر یک از پارامترها به طور مستقل بر اساس حدود نشان داده شده در جدول ۷ تغییر داده می‌شوند.

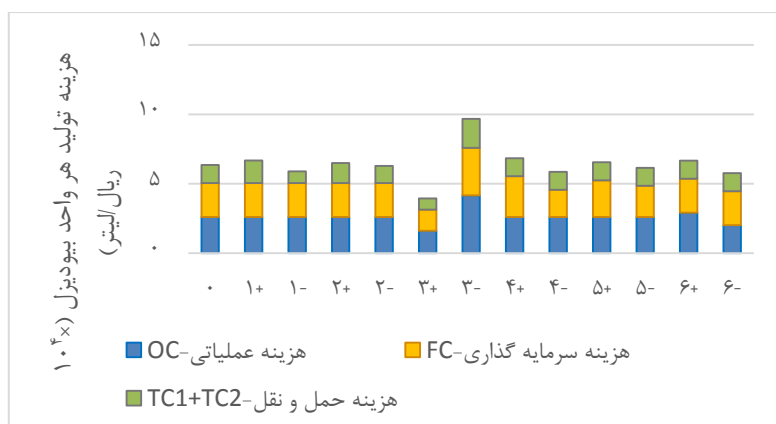
بر اساس نتایج، افزایش ۲۰ درصدی در هزینه‌های انتقال فاضلاب از تصفیه‌خانه‌ها به پالایشگاه باعث افزایش هزینه تولید هر لیتر سوخت از ۶.۳۵ به ۶.۶۷ خواهد شد. به علاوه کاهش هزینه انتقال هزینه سوخت را از ۵۸۹ به ۳۵ کاهش می‌دهد. همان‌طور که مشخص است تغییر در هزینه انتقال تأثیر نسبتاً قابل توجه می‌باشد. علت این موضوع این است که فاضلاب بسیار حجمی است و سوخت تولیدی از هر واحد از آن بسیار محدود است، لذا تولید هر لیتر سوخت به مقدار زیادی فاضلاب نیاز دارد. این موضوع باعث می‌شود که هزینه‌های حمل و نقل فاضلاب سهم بالای در هزینه زنجیره تأمین تولید سوخت از فاضلاب داشته باشد و تغییر در آن بر هزینه کل تأثیرگذار است. در مقابل اثر تغییرات در هزینه انتقال بیودیزل از پالایشگاه به نواحی عرضه بر هزینه کل زنجیره تأمین ناچیز است. به عبارت دقیق‌تر افزایش و کاهش ۲۰ درصدی هزینه انتقال هزینه کل را از ۶.۳۵ به ترتیب به ۶.۴۸ و ۶.۲۹ تغییر می‌دهد. در بین پارامترهای موردنرسی نرخ تبدیل فاضلاب به بیودیزل بیشترین تأثیر را بر روی هزینه کل دارد. افزایش ۲۰ درصدی این پارامتر هزینه هر لیتر بیودیزل را به ۳.۹۳ کاهش می‌دهد. همان‌طور که مشاهده می‌شود افزایش نرخ تبدیل موجب کاهش چشمگیر هزینه‌های عملیاتی، سرمایه‌گذاری و حمل و نقل می‌شود. علت این موضوع این است که هر واحد فاضلاب مقدار سوخت بیشتری تولید

می‌شود لذا برای تولید مقدار مشخصی سوخت مقدار کمتری فاضلاب نیاز است که موجب کاهش هزینه حمل و نقل می‌شود. همچنین با ظرفیت قبلی پالایشگاه، بعد از افزایش نرخ تبدیل مقدار سوخت بیشتری می‌توان تولید کرد که این موضوع باعث کاهش هزینه‌های سرمایه‌گذاری می‌شود. افزایش نرخ تبدیل هزینه‌های عملیاتی را نیز کاهش می‌دهد زیرا عملیات بر روی یک واحد بعد از افزایش نرخ تبدیل سوخت بیشتری با همان هزینه قبلی تولید می‌کند. نتایج همچنین نشان می‌دهد که کاهش نرخ تبدیل هزینه‌ها را به مقدار قابل توجهی افزایش می‌دهد. این موضوع نشان می‌دهد که لازم است در آینده تمرکز بیشتری بر روی روش‌ها و فناوری‌هایی شود که نرخ تبدیل بالاتری برای تبدیل فاضلاب به سوخت فراهم کنند. هزینه ایجاد هر واحد ظرفیت نیز از پارامترهای تأثیرگذار بر هزینه کل است. افزایش ۲۰ درصدی آن هزینه را به ۶۸۴ افزایش و کاهش ۲۰ درصدی آن هزینه را به ۵۸۶ کاهش می‌دهد. هزینه تابت احداث پالایشگاه تأثیر کمتری بر هزینه دارد. همان‌طور که مشاهده می‌شود تغییرات در آن موجب تغییر هزینه بین ۶.۱۵ و ۶.۵۵ می‌شود. تغییرات در هزینه‌های عملیاتی تأثیری همانند تغییرات در هزینه متغیر هر واحد ظرفیت بر هزینه کل دارد. درواقع افزایش ۲۰ درصدی آن هزینه را به ۶۶۲ افزایش و کاهش ۲۰ درصدی آن هزینه را به ۵۹۲ کاهش می‌دهد.

### جدول ۷. محدوده تعییر پارامترهای تحلیل حساسیت

حدود	پارامتر	شماره
	مدل پایه	۰
+۲۰	هزینه انتقال فاضلاب	۱+
-۲۰	هزینه انتقال فاضلاب	۱-
+۲۰	هزینه انتقال بیودیزل	۲+
-۲۰	هزینه انتقال بیودیزل	۲-
+۲۰	نرخ تبدیل فاضلاب به سوخت	۳+
-۲۰	نرخ تبدیل فاضلاب به سوخت	۳-
+۲۰	هزینه متغیر ایجاد هر واحد ظرفیت	۴+
-۲۰	هزینه متغیر ایجاد هر واحد ظرفیت	۴-
+۲۰	هزینه ثابت احداث پالایشگاه	۵+
-۲۰	هزینه ثابت احداث پالایشگاه	۵-
+۲۰	هزینه عملیاتی تولید هر واحد سوخت	۶+
-۲۰	هزینه عملیاتی تولید هر واحد سوخت	۶-

مأخذ: نتایج تحقیق



شکل ۷. نتایج تحلیل حساسیت بر روی پارامترهای مختلف

## ۶. جمع‌بندی

وابستگی شدید به منابع نفتی یکی از مهم‌ترین مسائلی است که آینده کشور را در تأمین انرژی تهدید می‌نماید. یکی از راه حل‌های این موضوع استفاده از انرژی‌های تجدید پذیر و سوخت‌های سبز می‌باشد. برای تولید سوخت‌های سبز منابع مختلفی همچون ذرت، سویا، نشاشه و ... به صورت گسترده در برخی از کشورهای دنیا به کار گرفته شده است. اگرچه سوخت تولیدی از این مواد قیمت تمام‌شده پایینی دارد اما به علت محدود بودن منابع غذایی تولید آن‌ها محدود شده است. در سال‌های اخیر یکی از منابع جایگزین برای تولید سوخت‌های سبز، فاضلاب شهری معرفی شده است. در این مطالعه برای بررسی تولید سوخت‌های سبز از فاضلاب‌های شهری در کشور، یک مدل طراحی شبکه زنجیره تأمین توسعه داده شده است که کلیه مراحل از تأمین فاضلاب و انتقال آن به پالایشگاه‌ها، تبدیل آن به سوخت در پالایشگاه‌ها و سپس توزیع آن را در نظر می‌گیرد. با توجه به ابعاد بزرگ مسأله و غیرخطی بودن آن، استفاده از الگوریتم‌های دقیق برای حل آن مقدور نمی‌باشد. لذا یک مدل فرآیندکاری ترکیبی که از قابلیت‌های الگوریتم‌های ژنتیک و ازدحام ذرات بهره می‌گیرد توسعه داده شده است. نتایج نشان می‌دهد که الگوریتم توسعه داده شده عملکرد مطلوب‌تری در مقایسه با الگوریتم‌های ژنتیک و ازدحام ذرات دارد. نتایج به دست آمده از حل مدل به وسیله الگوریتم ترکیبی پیشنهادی نشان می‌دهد که سوخت تولید از فاضلاب‌های شهری در حال حاضر اقتصادی نمی‌باشد اما بهبود نرخ تبدیل فاضلاب می‌تواند قیمت سوخت تولیدی را به مقدار قابل توجهی کاهش دهد. بنا بر این تمرکز بر توسعه تکنولوژی‌ها و روش‌های تبدیل فاضلاب به سوخت که بازده بالاتری دارد می‌تواند قیمت سوخت تولیدی را به قیمت رقابتی نزدیک نماید.

برای توسعه این مقاله در تحقیقات آتی موارد زیر پیشنهاد می‌شود. (الف) با توجه به این که تولید سوخت از فاضلاب شهری در مقیاس کلان اجرایی نشده است بنابراین تخمین مقدار دقیق پارامترهای مدل امکان پذیر نمی‌باشد، لذا در نظر گرفتن عدم قطعیت در مدل ریاضی ارائه شده نتایج دقیق‌تری را به همراه خواهد داشت. (ب) در مدل این مقاله تمرکز بر تولید سوخت بیو دیزل

از فاضلاب شهری بوده است. از آنجاکه فاضلاب شهری برای تولید بیوتابanol و الکتریسیته نیز می‌تواند به کار گرفته شود، در تحقیقات آتی تولید و عرضه این مواد نیز می‌تواند در مدل ریاضی لحاظ شود. (ج) همواره یکی از موضوعات مهم در زنجیره تأمین سوخت‌های سبز اثرات زیست‌محیطی آن و میزان انرژی مصرفی در کل زنجیره تأمین است. بنابراین مدل ریاضی این مقاله به یک مدل بهینه‌سازی چنددهفه بسط داده شود که علاوه بر هزینه معیارهای ذکر شده را نیز بهینه نماید.

## منابع

- خویشن دار، سهیلا؛ زندیه، مصطفی؛ دری، پهروز و سید امید رعنایی سیادت (۱۳۹۵)، "الگوریتم‌های تکاملی برای مسئله مکان‌یابی تخصیص زنجیره تأمین زیست‌متان"، *چشم‌انداز مدیریت صنعتی*، شماره ۲۳، صص ۵۴-۲۹
- داوودی نژاد، مصطفی؛ بی‌پروا، پوریا و احمد اکبرپور طلوتی (۱۳۹۴)، "برآورد پتانسیل تولید بیوگاز و برق از فاضلاب شهری در کشور"، *نشریه بازیافت آب*، شماره ۲، صص ۴۸-۴۱
- محسنی، شیان و میرسامان پیشوایی (۱۳۹۶)، "توسعه مدل‌های برنامه‌ریزی استوار به‌منظور طراحی و بهینه‌سازی زنجیره تأمین تولید سوخت سبز از جلبک‌ها در شرایط عدم قطعیت". *مجله مال سازی پیشرفته ریاضی*، شماره ۷، صص ۵۹-۸۸

**Azadeh, A., Shafiee, F., Yazdanparast, R., Heydari, J., & Fathabad, A. M. (2017).** "Evolutionary Multi-objective Optimization of Environmental Indicators of Integrated Crude Oil Supply Chain Under Uncertainty". *Journal of Cleaner Production*, No. 152, pp. 295-311.

**Babazadeh, R., Razmi, J., Pishvaaee, M.S. and M. Rabbani (2015).** "A Non-radial DEA Model for Location Optimization of Jatropha Curcas L. Cultivation". *Industrial Crops and Products*, No. 69, pp. 197-203.

**Castillo-Villar, K. K. (2014).** Metaheuristic Algorithms Applied to Bioenergy Supply Chain Problems: Theory Review Challenges and Future". *Energies*, 7(11), pp. 7640-7672.

**Chibeles-Martins, N., Pinto-Varela, T., Barbosa-Póvoa, A. P. and A.Q. Novais (2016).** "A Multi-objective Meta-heuristic Approach for the Design and Planning of Green Supply Chains-MBSA". *Expert Systems with Applications*, No. 47, pp. 71-84.

- Garg, H.** (2016). "A Hybrid PSO-GA Algorithm for Constrained Optimization Problems". *Applied Mathematics and Computation*, No. 274, pp. 292-305.
- Houck, C.R., Joines, J. and M.G. Kay** (1995). A Genetic Algorithm for Function Optimization: a Matlab Implementation. Ncsu-ie tr, No. 95.
- Huang, Y., Chen, C.W. and Y. Fan** (2010). "Multistage Optimization of the Supply Chains of Biofuels". *Transportation Research Part E: Logistics and Transportation Review*, 46(6), pp. 820-830.
- Jiang, Y. and Y. Zhang** (2016). "Supply Chain Optimization of Biodiesel Produced from Waste Cooking Oil". *Transportation Research Procedia*, No.12, pp. 938-949.
- Kao, Y.T. and E. Zahara** (2008). "A Hybrid Genetic Algorithm and Particle Swarm Optimization for Multimodal Functions". *Applied Soft Computing*, 8(2), pp. 849-857.
- Kargbo D.M.** (2010). "Biodiesel Production from Municipal Sewage Sludges". *Energy & Fuels*, 24(5), pp. 2791-2794.
- López P.R., Jurado F., Reyes N.R., Galán, S.G. and M. Gómez** (2008). Particle Swarm Optimization for Biomass-fuelled Systems with Technical Constraints. *Engineering Applications of Artificial Intelligence*, 21(8), pp. 1389-1396.
- Maity J.P., Bundschuh J., Chen C.Y. and P. Bhattacharya** (2014). "Microalgae for third Generation Biofuel Production, Mitigation of Greenhouse Gas Emissions and Wastewater Treatment: Present and Future Perspectives—A Mini Review". *Energy*, No. 78, pp. 104-113.
- Marufuzzaman M., Ekşioğlu S.D. and R. Hernandez** (2015). "Truck Versus Pipeline Transportation Cost Analysis of Wastewater Sludge. Transportation Research Part A", *Policy and Practice*, No. 74, pp. 14-30.
- Marufuzzaman M., Eksioglu S.D. and Y.E.Huang** (2014). "Two-stage Stochastic Programming Supply Chain Model for Biodiesel Production via Wastewater Treatment", *Computers & Operations Research*, No. 49, pp. 1-17.
- Mohseni S., Pishvaee M.S. and H. Sahebi** (2016). "Robust Design and Planning of Microalgae Biomass-to-biodiesel Supply Chain: A Case Study in Iran". *Energy*, No. 111, pp. 736-755.
- Olkiewicz M., Caporgno M.P., Fortuny A., Stüber F., Fabregat A., Font J. and C. Bengoa** (2014). "Direct liquid-liquid Extraction of lipid from Municipal Sewage Sludge for Biodiesel Production". *Fuel Processing Technology*, No. 128, pp. 331-338.
- Premalatha K. and A. Natarajan** (2009). Hybrid PSO and GA for Global Maximization. *Int. J. Open Problems Compt*". *Math*, 2(4), pp. 597-608.
- Ray A., Jana K., Assadi M. and S. De** (2018). "Distributed Polygeneration Using local Resources for an Indian Village: Multiobjective Optimization Using Metaheuristic Algorithm". *Clean Technologies and Environmental Policy*, pp. 1-19
- Rentzelas A., Tatsopoulos I., and A. Tolis** (2009). "An Optimization Model for Multi-biomass Tri-generation Energy Supply". *Biomass and Bioenergy*, 33(2), pp. 223-233.
- Salimi F. and B. Vahdani** (2018). "Designing a Bio-fuel Network Considering Links Reliability and Risk-pooling Effect in Bio-refineries". *Reliability Engineering & System Safety*, No. 174, pp. 96-107.

- 
- Siddiquee M.N. and S. Rohani** (2011). "Lipid Extraction and Biodiesel Production from Municipal Sewage Sludges: A Review". *Renewable and Sustainable Energy Reviews*, 15(2), pp. 1067-1072.
- Srinivas M. and L.M. Patnaik** (1994). "Genetic Algorithms: A Survey". *Computer*, 27(6), pp. 17-26.
- Vera D., Carabias J., Jurado F. and N. Ruiz-Reyes** (2010). "A Honey Bee Foraging Approach for Optimal Location of a Biomass Power Plant". *Applied Energy*, 87(7), pp. 2119-2127.
- Yue D., You F. and S.W. Snyder** (2014). "Biomass-to-bioenergy and Biofuel Supply Chain Optimization: Overview, Key Issues and Challenges". *Computers & Chemical Engineering*, No. 66, pp. 36-56.